

2 结果

2.1 PCR 扩增产物

用 2% 琼脂糖凝胶 0 V 电压电泳结果见图 1 扩增产物为 295bp 的 DNA 片段

112 株志贺菌分离株及参照株 T32 均可扩增出特异的 gyrA 片段扩增产物与设计片段大小一致

2.2 福氏志贺菌的 早期 PCR-SSCP

PCR 产物变性后经 8% 聚丙烯酰胺 50 V 电压电泳后银染结果见图 2

早期基因扩增产物变性后经聚丙烯酰胺电泳呈现出三种不同的 SSCP 图谱分别以 SSCP- 型 SSCP- 型 SSCP- 型表示 SSCP- 型是以 T32 为代表的阴性株 SSCP- 是以 J13 和 H16 和 H20 和 H25

SH1 突变株 SSCP- 型是 J13 突变株未加变性剂双链只有一条带

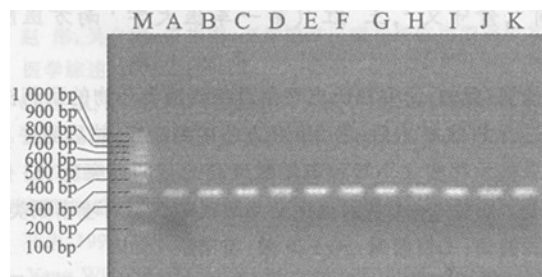


图 1 福氏志贺菌 早期基因扩增产物电泳图谱
A~K:Sample;M:Marker

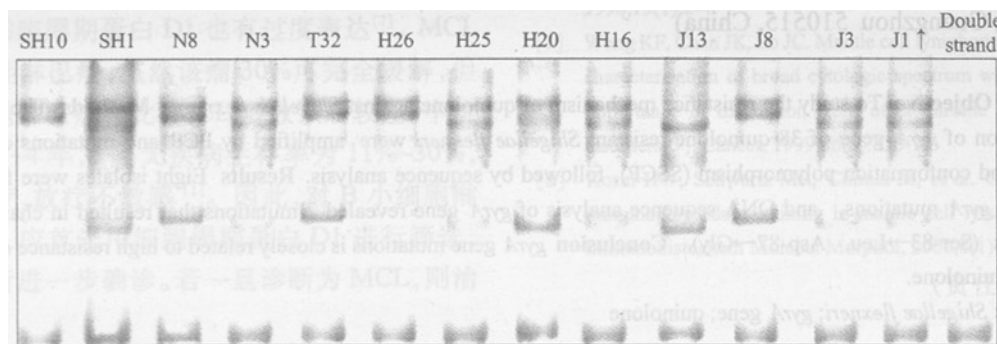


图 2 福氏志贺菌 早期基因 孕胚区杂合图谱

2.3 测序结果

测序结果显示 SSCP- (J13 和 H16 和 H20 和 H25) 均有 83 位 TCG 突变为 TTG 突变 SSCP- (J13) 不仅有 83 位 TCG 突变为 TTG 突变还有 87 位 GAC 突变为 GGC 突变

3 讨论

对于与 T32 菌株有相同 PCR-SSCP 图谱的菌株认为其 QRDR 段无突变或突变尚不足以改变单链的构象与 T32 菌株 PCR-SSCP 图谱不同的菌株认为其 QRDR 段有突变且具有不同特征的 SSCP 图谱提示该菌株有不同突变特征

细菌对喹诺酮类药物产生耐药机制主要为三方面 DNA 旋转酶基因点突变特别是喹诺酮耐药决定区的突变膜孔蛋白缺失所致的膜通透性下降主动外排其中喹诺酮耐药决定区的突变占主导地位大肠杆菌喹诺酮类抗生素耐药研究表明 gyrA 基因的突变热点是 GyrA 亚基的 83 位 Ser 氨基酸或 87 位 Asp 天冬氨酸研究认为 83 位突变引起耐药的机制是第 3 位 TCG 是旋转酶的一个活性位点突变后活性位点消失药物不能与之

结合或者是突变后旋转酶的构象发生了改变喹诺酮类药物难以到达活性位点而使细菌形成了对喹诺酮类药物的耐药

112 株志贺菌分离株 早期基因 PCR-SSCP 分析结果展示喹诺酮类抗生素敏感株 早期基因片段无突变而在 38 株对诺氟沙星耐药分离株中具有较高的耐药水平的分离株呈现两种不同的突变特征 J13 和 H16 和 H20 和 H25 和 H1 株均存在 早期基因 83 位 TCG 突变为 TTG 突变 J13 不仅具备 83 位 TCG 突变为 TTG 突变而且还存在 早期基因 87 位 GAC 突变为 GGC 突变

结合耐药程度分析不难看出突变株耐药水平均高于非突变株多点突变分离株 J13 诺氟沙星 MIC>40 微克/ml 的耐药水平高于单点突变分离株 诺氟沙星 MIC<24 微克/ml 结果表明志贺菌喹诺酮类抗生素耐药株基因突变类型与大肠杆菌喹诺酮类抗生素耐药株基本一致而且不同点突变类型与耐药程度的变化亦基本相符

参考文献:

咄暂 Yoshida H, Kojima T, Yanmagishi J, 喹诺酮类 quinolone resistance-de-

